



Très Grande Infrastructure de Recherche (TGIR)

Principales missions :

Promouvoir la recherche dans le domaine des sources de RS et des dispositifs expérimentaux associés.

- Production du rayonnement
- Accueil de la communauté scientifique
- Activité de recherche interne
- Développement d'une instrumentation de pointe

Plus de 4000 utilisateurs (académiques, industriels)

6000 visiteurs (tous publics)

- 314 jours de faisceau délivré en 2016

~ 500 publications / an

~ 70 projets industriels en 2014

Société civile

Membres : le CNRS (72 %) et le CEA (28 %)

Budget annuel : ~ 58 M€

Personnel permanent : 358

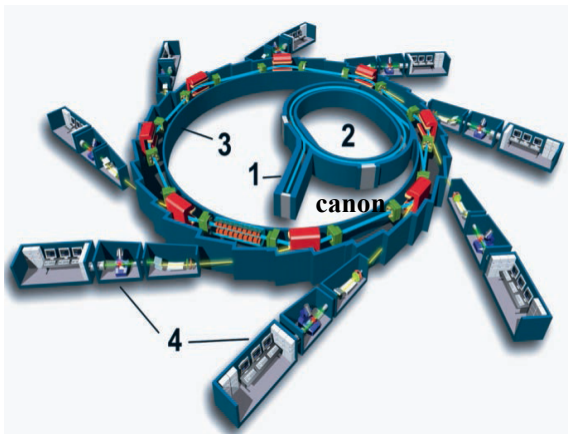
Personnel non-permanent :

Doctorants : 31

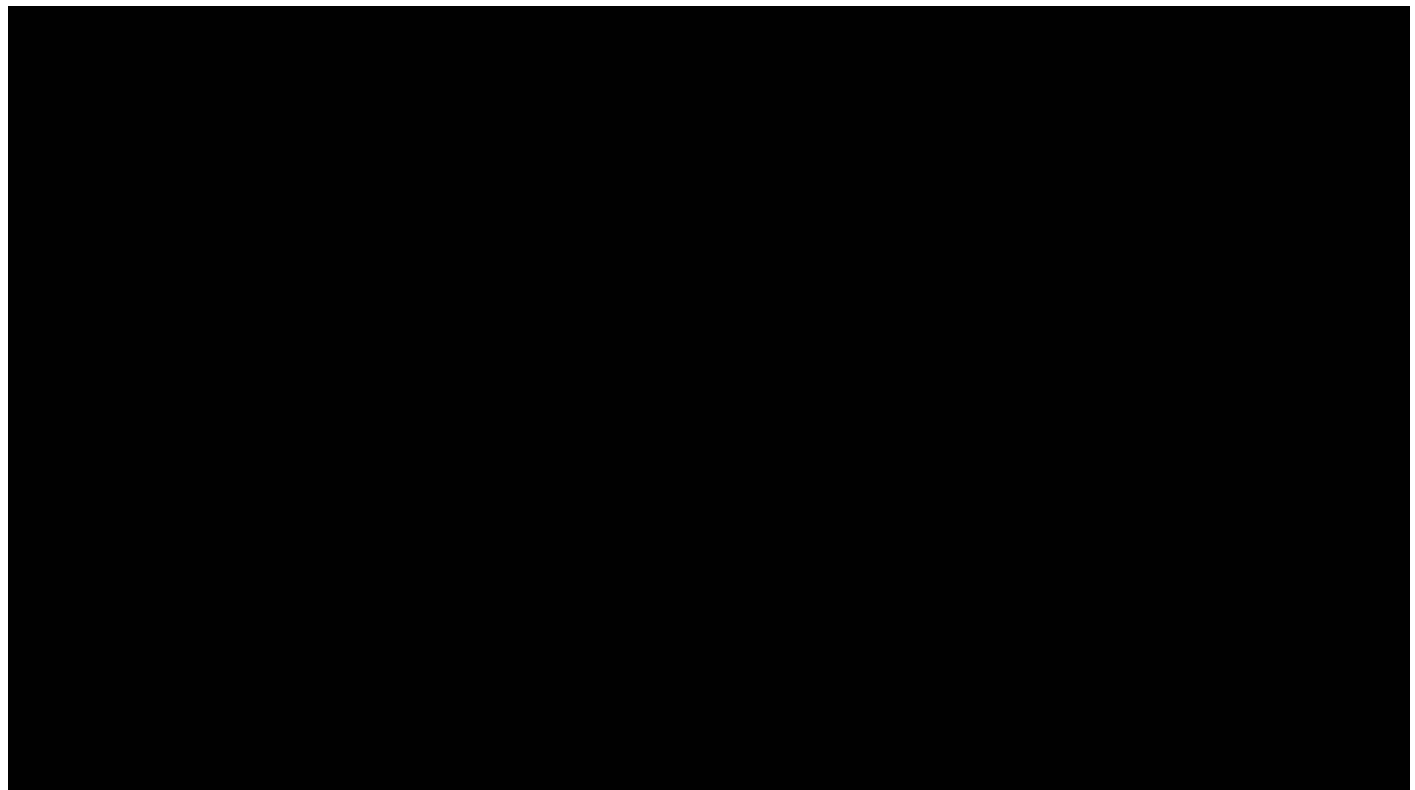
Post-doctorants : 25

+ chercheurs associés : 96

Production du rayonnement synchrotron



- 1- Linac
- 2- Booster
- 3- Anneau de stockage
- 4- Lignes de lumière

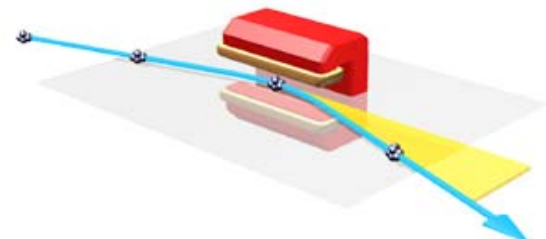


$E = 2.75 \text{ GeV}$, $I_e = 500 \text{ mA}$

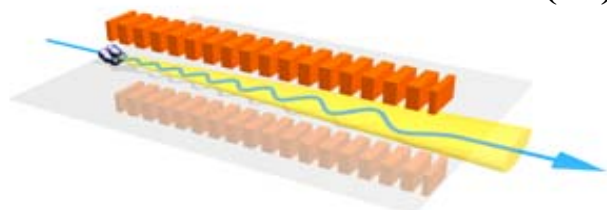
Circonférence de l'anneau = 354 m

Sections droites : 24 / Aimants de courbure : 32

Aimants de courbure (22)



Eléments d'insertion (21)



- Source « **blanche** », continue et accordable

(de l'infrarouge aux rayons X)

La brillance



- Source **brillante**

- **Haut flux**

(permet de réduire les temps d'acquisition
ou bien étudier une quantité de matière plus faible)

- Lumière **polarisée** (linéaire / circulaire)

(symétrie des molécules, phénomènes magnétiques)

- Source **pulsée**

(phénomènes dynamiques)

- Degré de cohérence

- Grande stabilité en position & en intensité

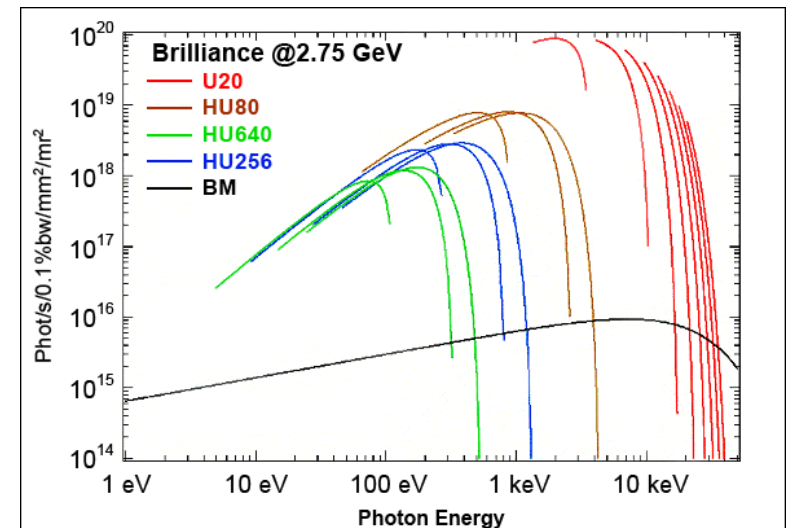
(importance pour petits échantillons et fiabilité des résultats)

Instrumentation connexe

Taille de la sonde (en lien avec l'optique)

Équipements spécifiques (ex: diffractomètre 6/8 cercles)

Utilisation de détecteurs de plus en plus performants (détecteurs 2D, détecteurs multiéléments)



Les lignes de lumière

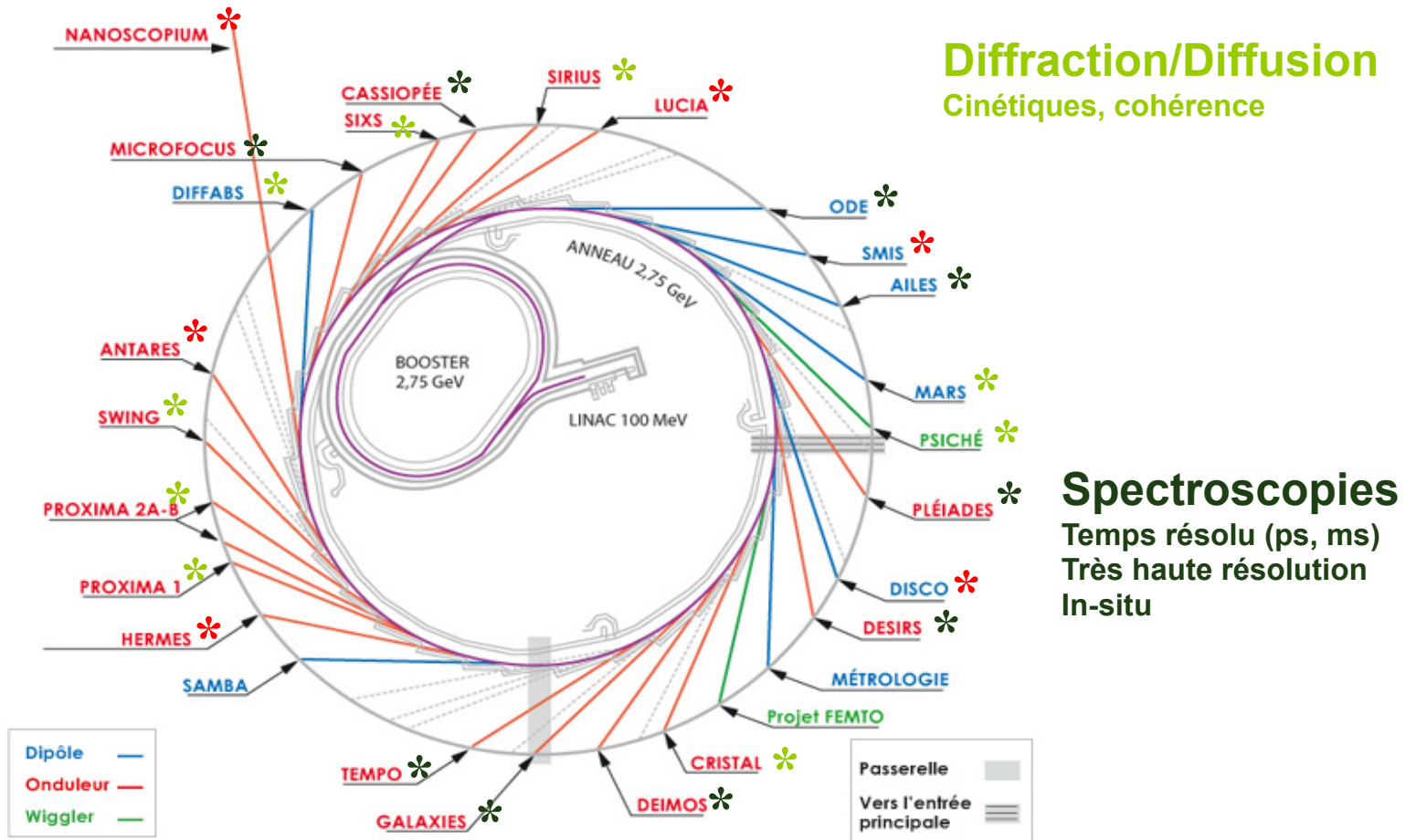
29 lignes de lumière

Chaque ligne de lumière est un « petit laboratoire »

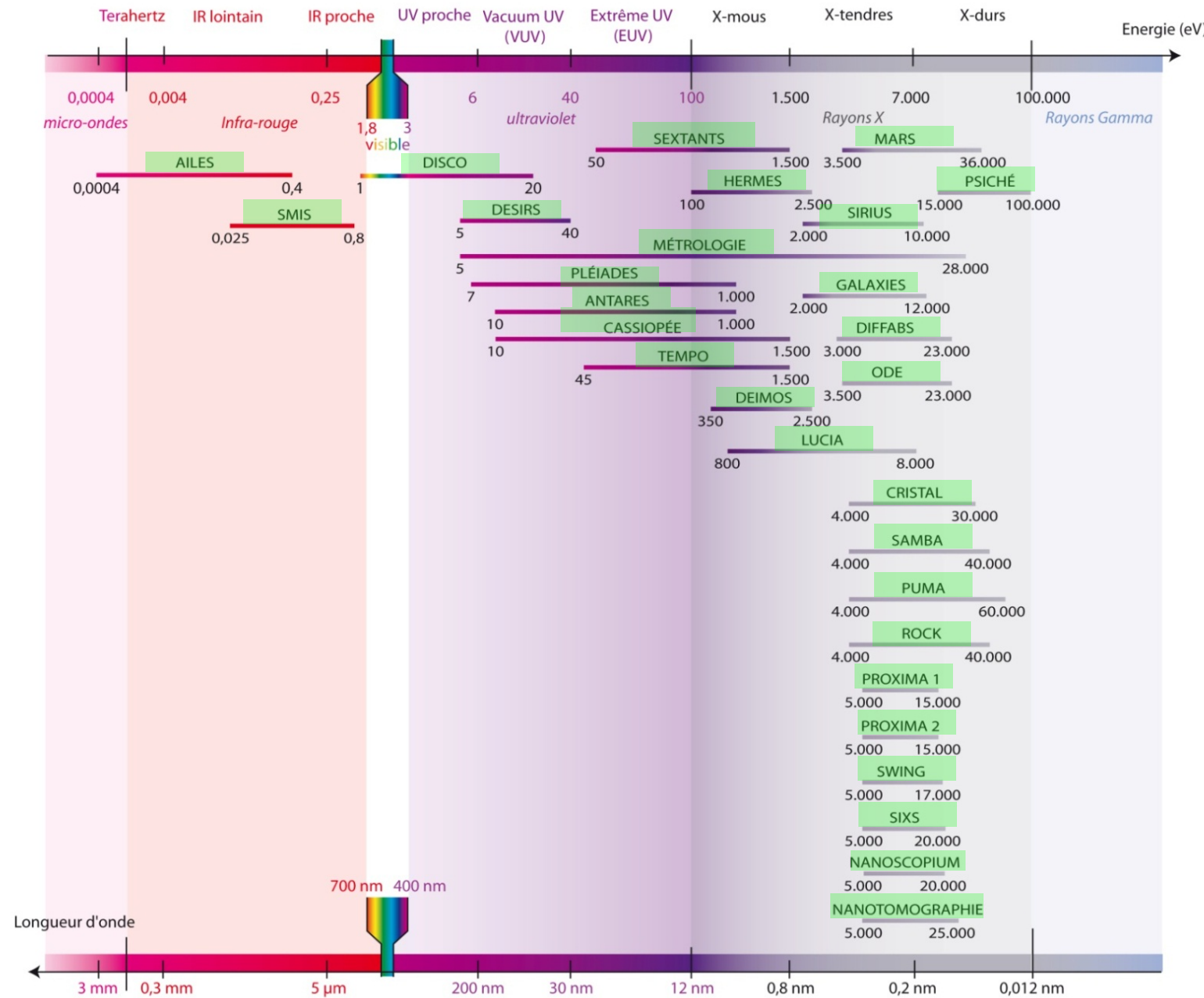
- optimisée dans une gamme spectrale
- dédiée à une ou plusieurs techniques d'analyse
- couvrant le plus souvent plusieurs disciplines

Imagerie 2D/3D

Haute résolution
Contraste de phase
Multi-échelle
Multi-technique



Les lignes de lumière en fonction du domaine spectrale



Les techniques de diffraction/diffusion des rayons X : information structurale

Diffraction	CRISTAL , DIFFABS , PSICHÉ , MARS , PROXIMA 1 , PROXIMA 2A , SEXTANTS , SIRIUS , SIXS
Diffusion	GALAXIES , MARS , SEXTANTS , SIRIUS , SIXS , SWING
Réflectivité	SEXTANTS , SIRIUS , SIXS , MÉTROLOGIE

Les techniques de spectroscopie IR, UV et X : information chimique

Spectroscopie IR	AILES , SMIS
Spectroscopie UV-VUV	DESIRS , DISCO , PLÉIADES
Spectroscopie X	CASSIOPÉE , DEIMOS , DIFFABS , GALAXIES , HERMES , LUCIA , MARS , NANOSCOPIUM , ODE , PLÉIADES , ROCK , SAMBA , SEXTANTS , TEMPO

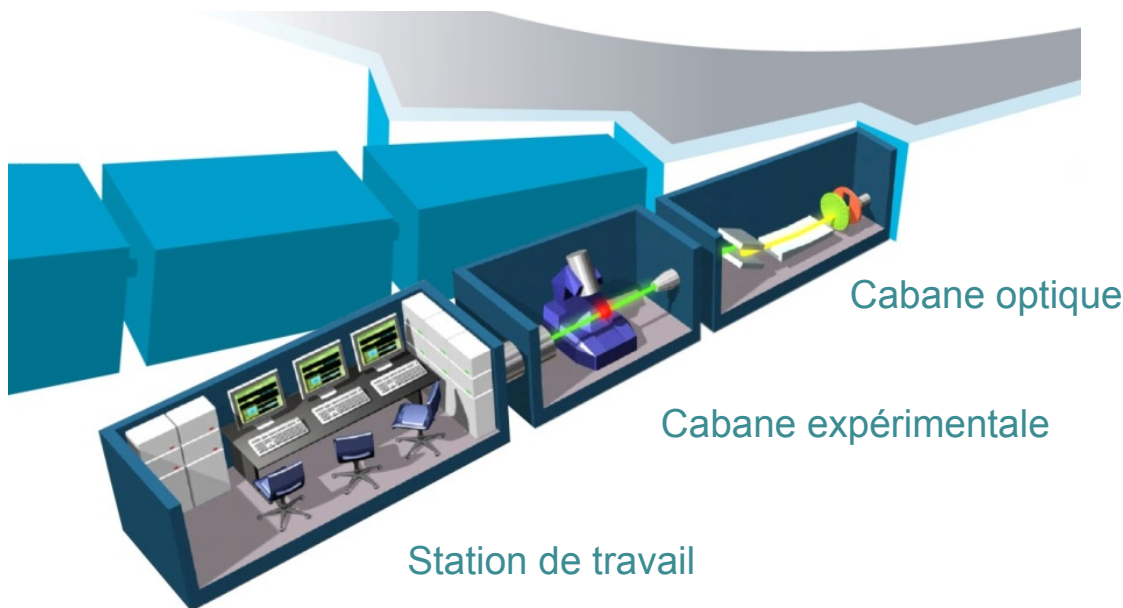
Les techniques d'analyses électronique et magnétique

Etudes électroniques et magnétiques	ANTARES , CASSIOPÉE , DEIMOS , DESIRS , GALAXIES , HERMES , ODE , PLÉIADES , SEXTANTS , SIRIUS , TEMPO
-------------------------------------	--

Les techniques d'imagerie et de radiographie : morphologie

Imagerie	ANTARES , DISCO , DIFFABS , HERMES , LUCIA , NANOSCOPIUM , SEXTANTS , SMIS
Tomographie	PSICHÉ , PUMA

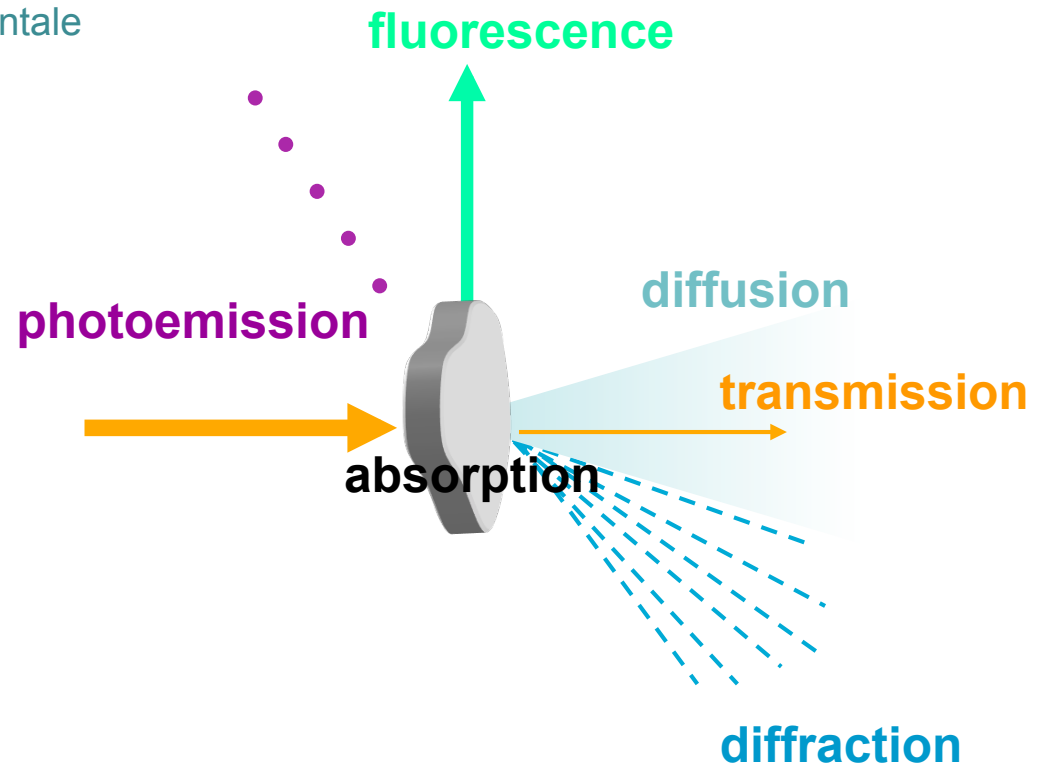
Les lignes de lumière



Informations obtenues

- chimiques (constituants), en 1, 2 ou 3 D
- structurales (organisation moléculaire), en 1, 2 ou 3 D
- morphologiques (détails, défauts, densité...), radiographie 2 / 3 D
- électroniques / magnétiques (spins, niveaux électroniques, fermi..)

Les interactions lumière-matière





Techniques d'analyse sur DiffAbs

Processus	Techniques	Informations
Absorption	Spectroscopie d'absorption X EXAFS (Extended X-ray Absorption Fine Structure) XANES (X-ray Absorption Near Edge Structure) en transmission, en fluorescence, en polarisation, en incidence rasante	Coordinance, géométrie de site, distorsion de site, valence, propriétés électroniques, distances interatomiques, nature , désordre.
	Spectroscopie de fluorescence XRF (X-Ray Fluorescence)	Nature, teneur, Localisation (cartographie)
Diffusion élastique	Diffraction des rayons X XRD (x-ray diffraction)	Détermination de structures Reconnaissance des phases cristallines Microstructure, déformations...
	Diffusion des RX aux grands angles WAXS (Wide-Angle X-ray Scattering)	Distances interatomiques, nombre de voisins
	Réflectométrie X XRR (X-ray reflectivity)	Épaisseur, rugosité

+ Diffraction résonante :

$$f(q, E) = f_0(q) + f'(E) + i f''(E)$$

- soit diffraction X / diffusion X, avec **effet anomal** (AXRD ou AWAXS)
- soit **spectroscopie en condition de diffraction** (DAFS, DANES)



First steps in the nucleation/crystallization of the CaO-Al₂O₃-SiO₂

D.-R. Neuville¹, E. Strukelj¹, B. Cochaine¹, P. Richet¹, M. Roskosz²,
M. Comte³, B. Guillot⁴, L. Hennet⁵, D. Thiaudiére⁶

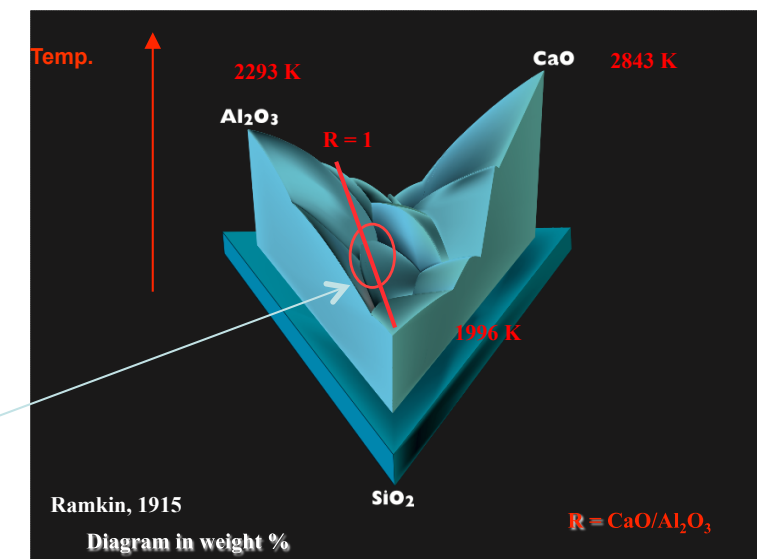
¹ Physique des minéraux et magmas, CNRS-IPGP, ² LSPES-Lille, ³ Corning SAS CETC,

⁴ LPTMC, ⁵ CEMHTI, ⁶ Synchrotron SOLEIL

**Best knowledge of the liquid crystallization in natural and industrial process.
Fundamental aspects for materials sciences and earth science**



Yochiokaite

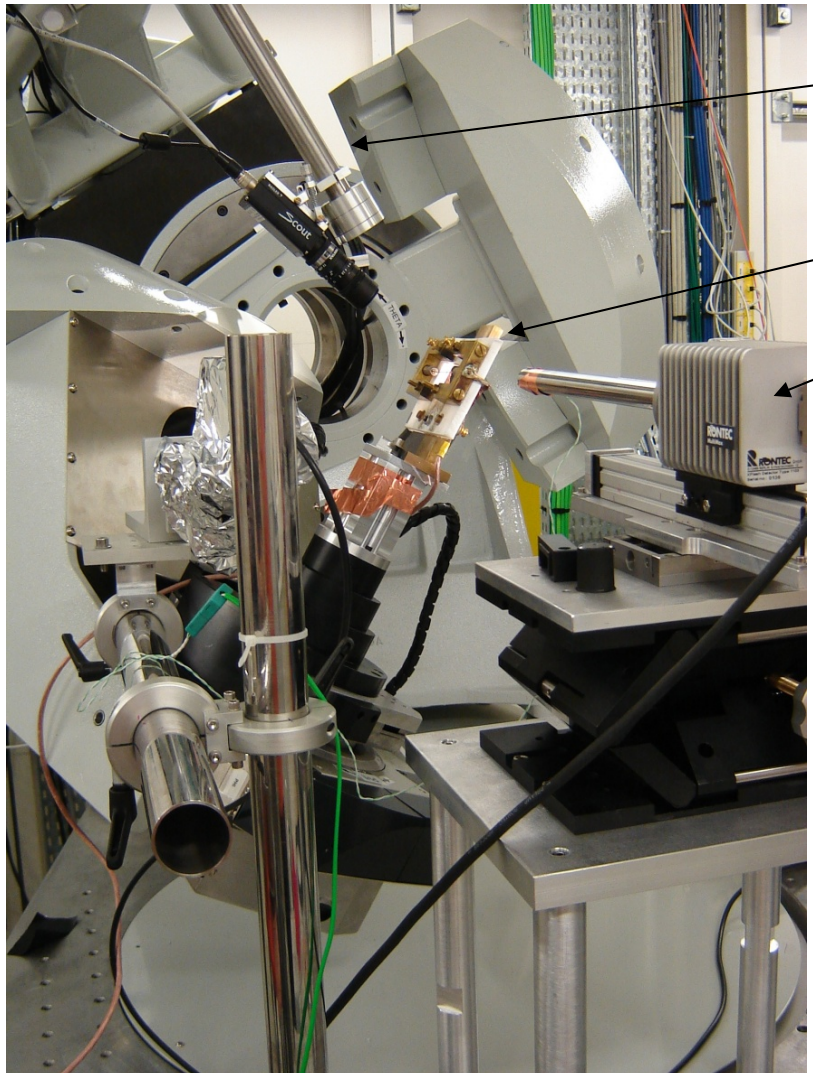


CaO-Al₂O₃-SiO₂ composition including 7% of ZrO₂

(Nucleating agent)

Experimental set-up for *in situ* XAS / WAXS measurements at high temperature

Diffractometer

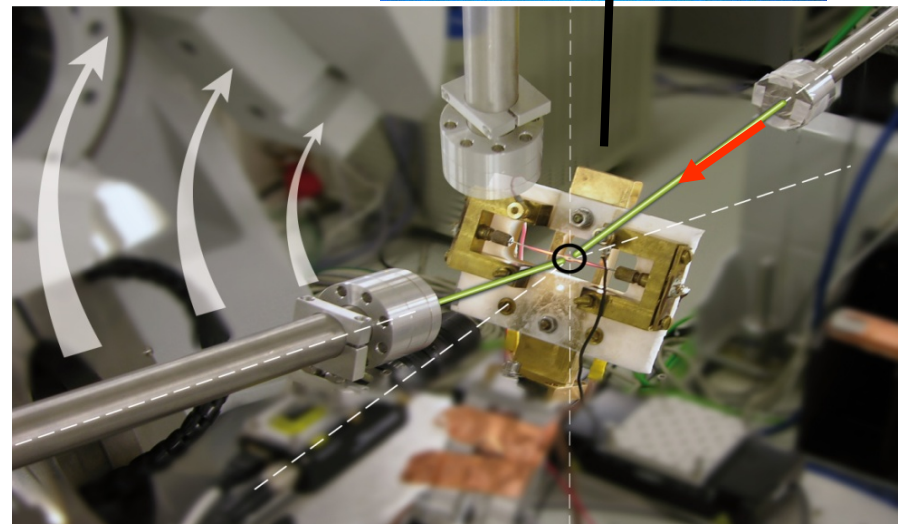
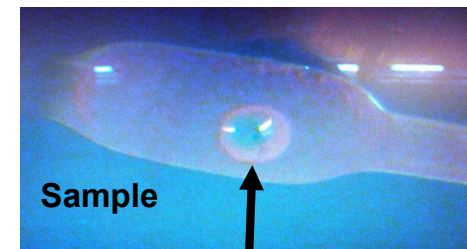


Detector arm including

- YAP detector for WAXS @ 17.5 keV
- Si-CsI detector for XAS @ Zr K-edge (transmission mode)

Heating system : Pt/Ir 10% wire (T max 1700°C)

- SDD detector for XAS @ Zr K-edge (fluorescence mode)

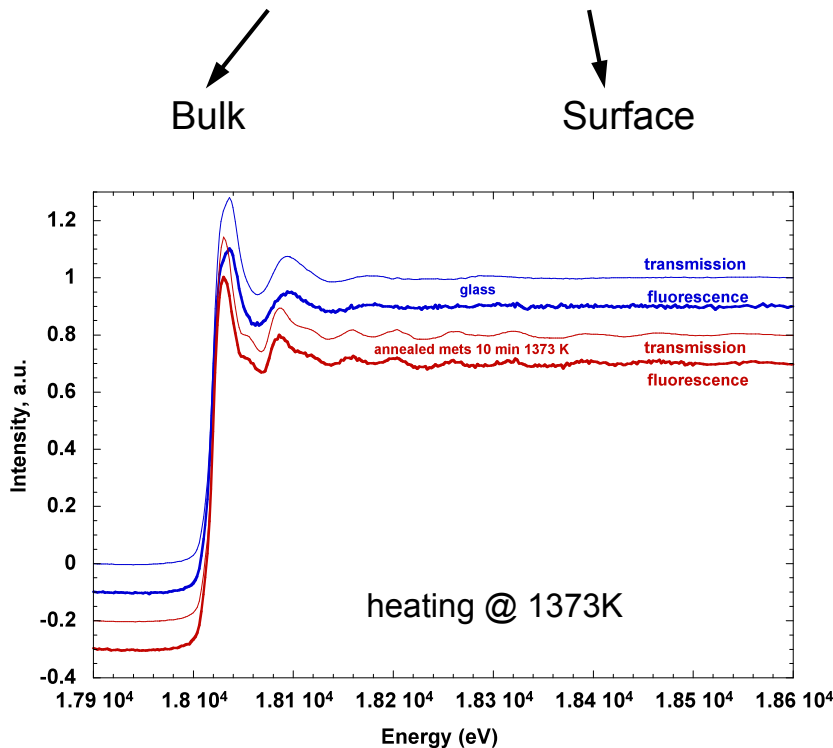




XAS measurements @ high temperature

EXAFS measurements @ Zr K-edge

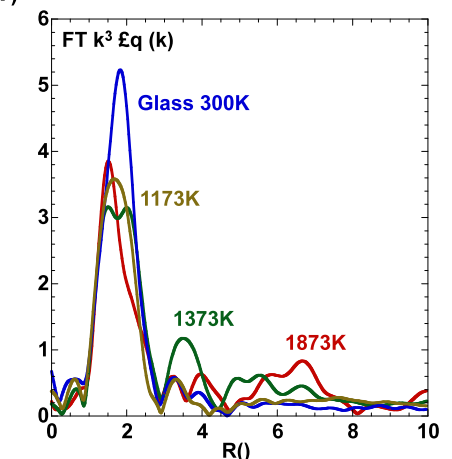
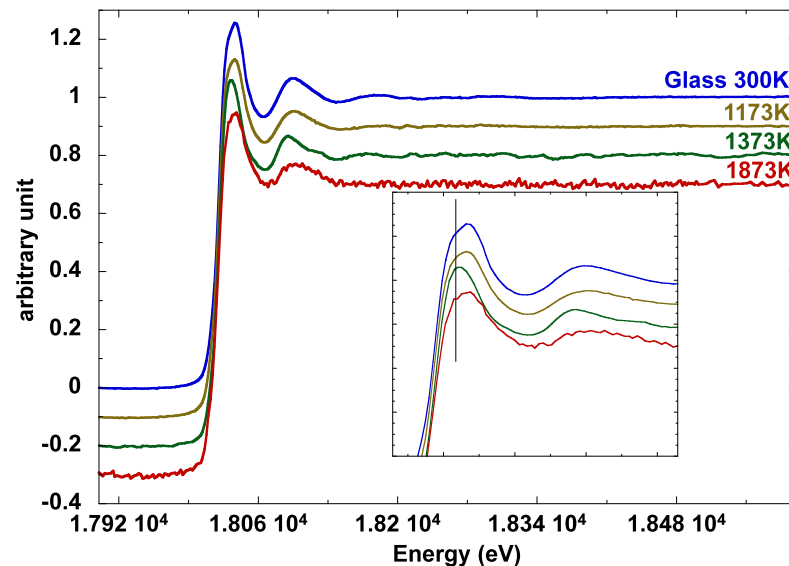
XAS in transmission and fluorescence mode



Similar signal between the two modes
→ crystallization in all the sample

Heating from Room Temperature

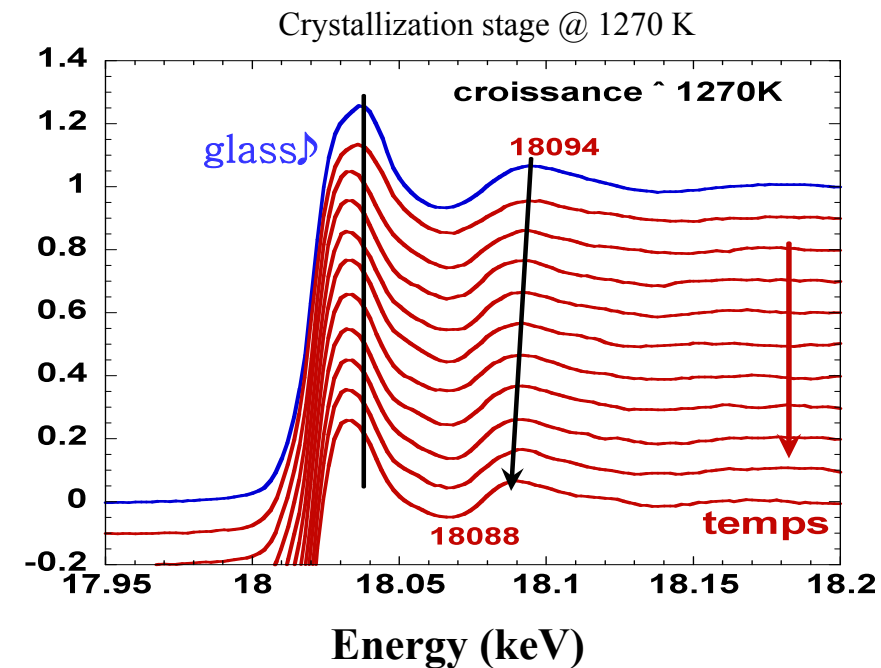
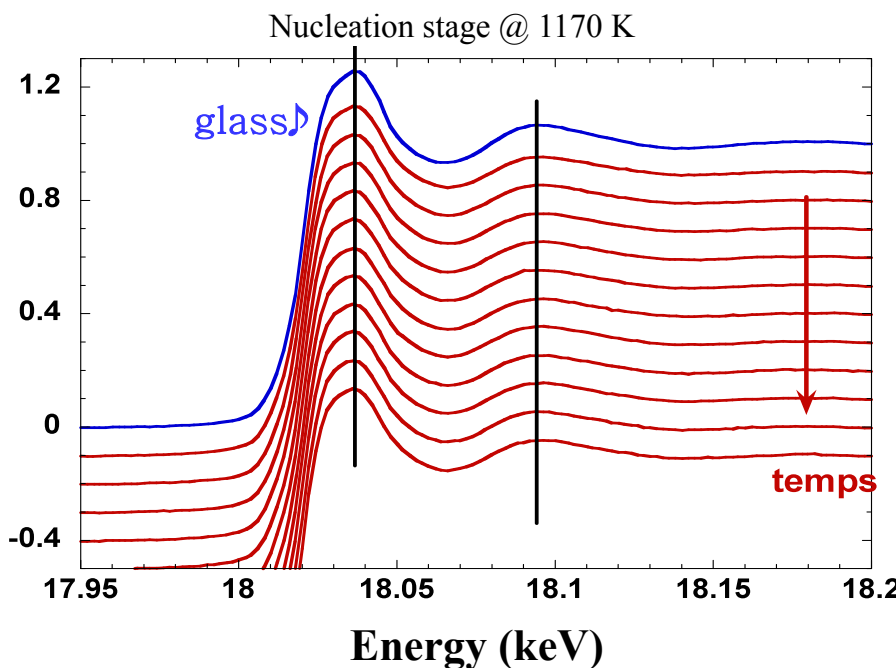
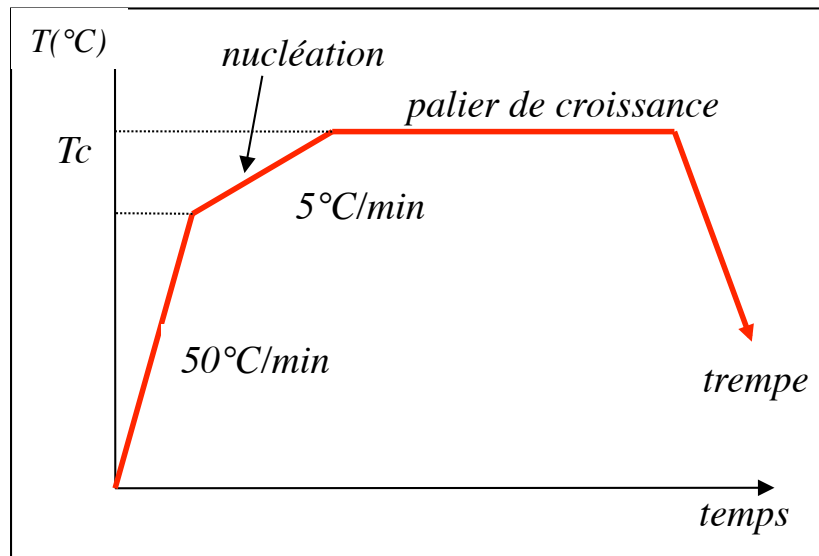
Glass at RT
Nucleation at 1173 K
Crystallization at 1373 K
Liquid at 1873 K



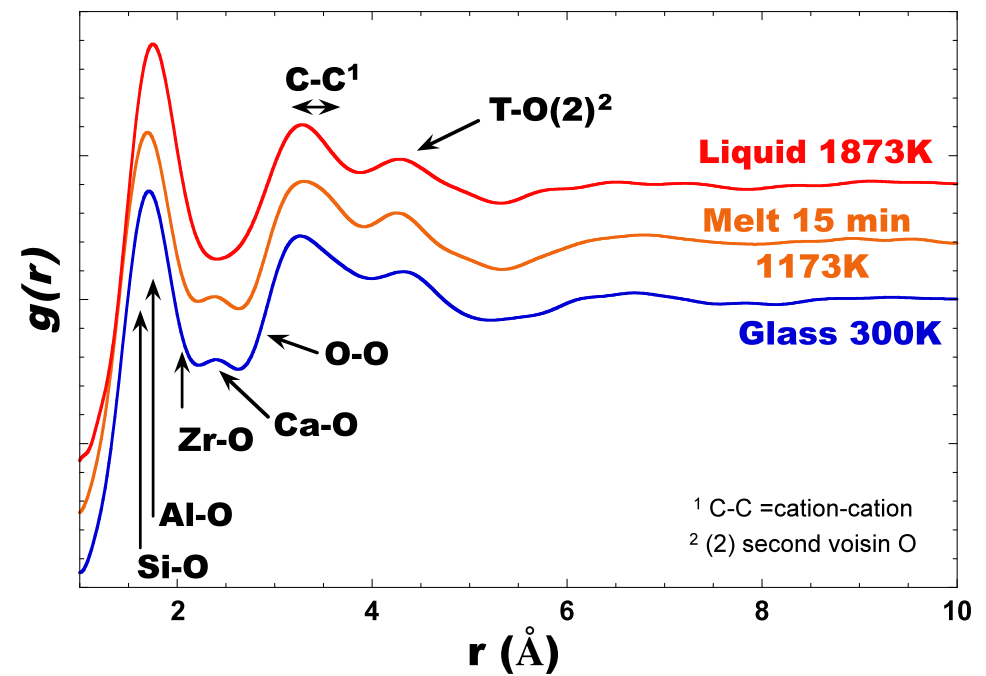
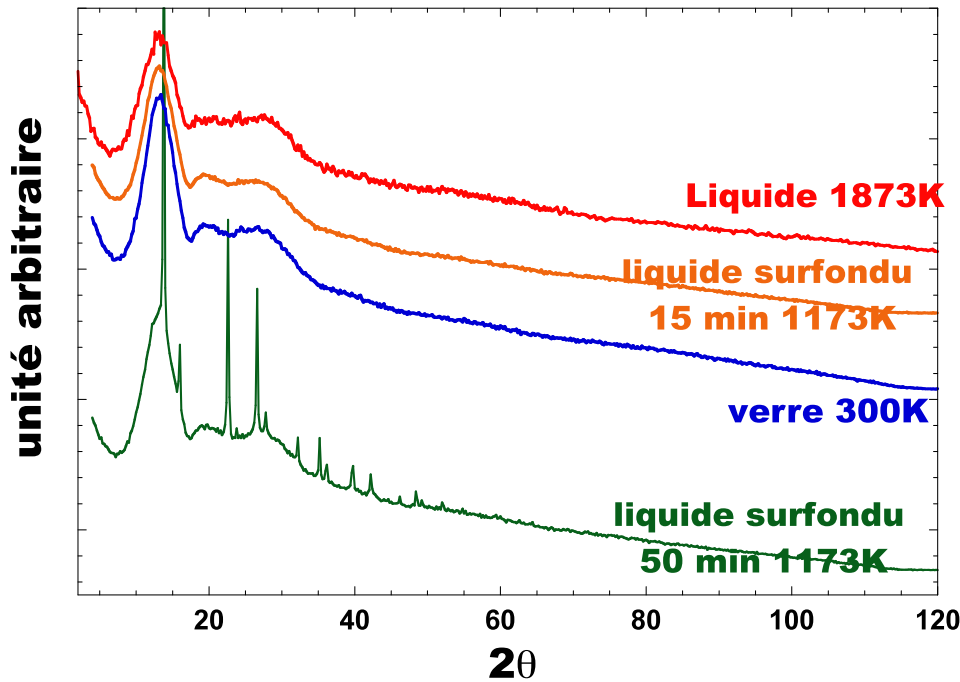


XAS measurements @ high temperature

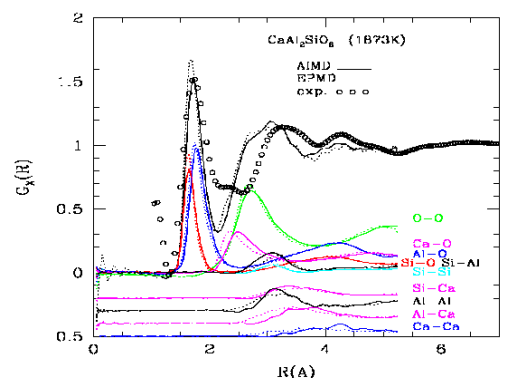
Evolution of XAS signal as a function of the time for nucleation and crystallization stages



WAXS measurements @ high temperature



- Shift of the first peak - Modification of the short range order
- Appearance of the Ca-O correlation (Increased order in the supercooled and glass states.



Anomalous X-ray scattering on levitated Yttrium Aluminate melts

L. Hennet, S. Brassamin, J. Drewitt, D. Zanghi : CEMHTI – Orléans

Thomas Farmer, Adrian Barnes : Bristol University

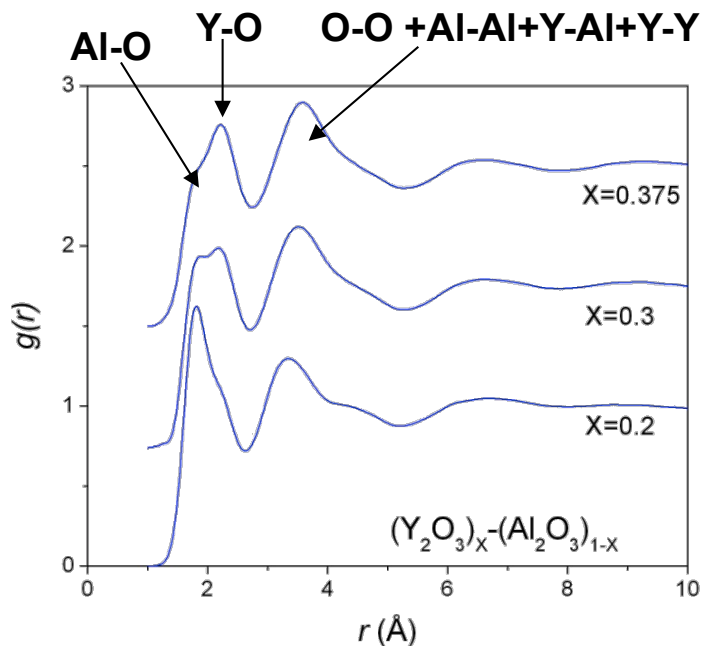
C. Mocuta, S. Réguer, D. Thiaudière : Synchrotron SOLEIL



- ◆ Well known compounds obtained from the melt : YAP ($x=0.5$), YAG ($x=0.375$)
- ◆ Polyamorphism observed at various compositions around $x=0.2$
- ◆ glass formers in a wide range of compositions



Interesting to study the liquid structure



Total Pair Distribution Function for various compositions @ HT (<2100°C)

Problems:

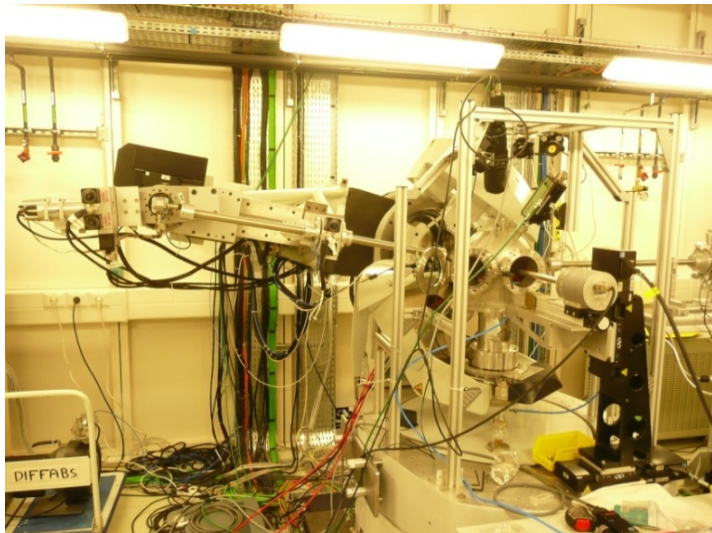
3 atoms (Al, Y, O) → 6 atomic pairs → Overlaps

- ◆ Difficult to separate Al-O and Y-O correlations
- ◆ Cation-cation contributions hidden by O-O pairs



2 options for the detection part

$$I(Q) = I_{coh}(Q) + I_{air}(Q) + I_{mult}(Q) + I_{compt}(Q) + [I_{fluo}(Q)]$$



graphite analyzing crystal



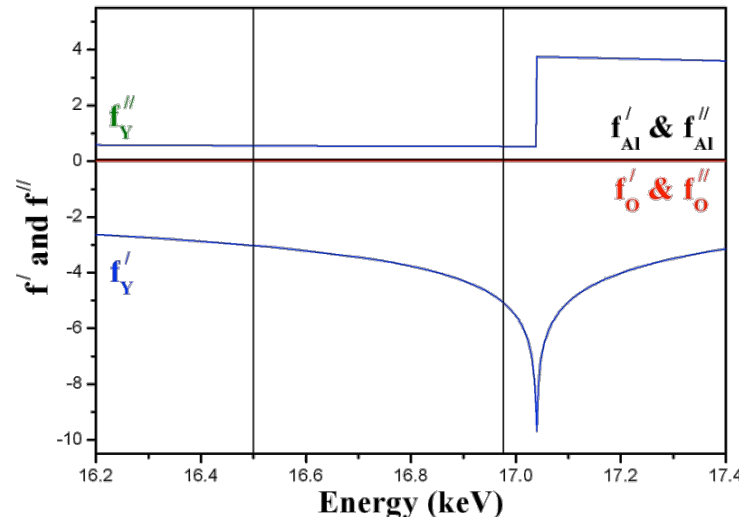
SDD detector mounted on the 2θ arm.



AY20 ($x=0.2$): $(\text{Al}_{1.6}\text{Y}_{0.4}\text{O}_3)$ @ 2100°C

- ◆ Principle : XRD measurements à 2 energies: E_1 (16.500 keV) & E_2 (16.976 keV)

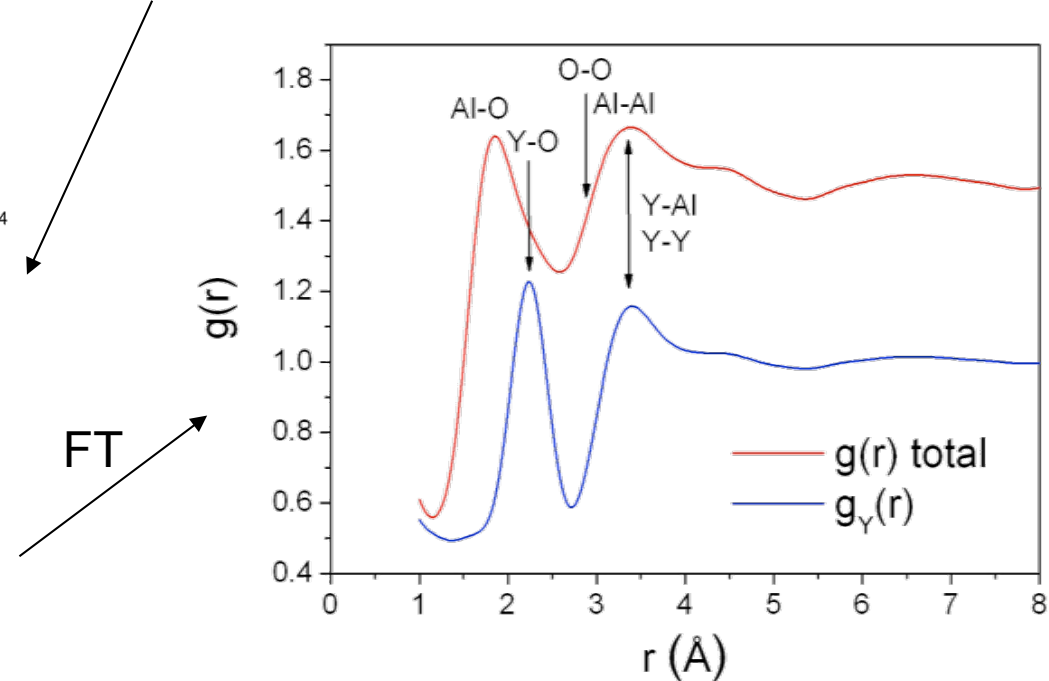
$$f_i(Q, E) = f_i^0(Q) + f_i'(E) + i f_i''(E)$$



$$I_{coh}(Q) = \sum_{i,j} c_i c_j f_i f_j^* (S_{ij}(Q) - 1) \sum_i c_i f_i f_i^*$$

$$\Delta I(Q) = (S_Y(Q) - 1) \cdot \Delta \langle |f(Q)|^2 \rangle + \Delta \langle |f(Q)|^2 \rangle$$

$$S_Y(Q) = 0.47 S_{YO}(Q) + 0.28 S_{YY}(Q) + 0.25 S_{YAl}(Q)$$



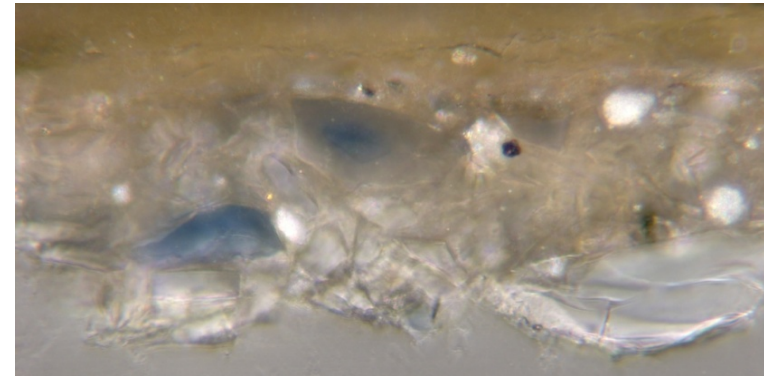
$r_{\text{Y-O}} : 2.24\text{\AA}$, CN (Y-O) ~ 5.6 , $\langle r_{\text{Y-Al}}, r_{\text{Y-Y}} \rangle : 3.44\text{\AA}$

Laurianne Robinet¹, M. Spring², Sandrine Pagès-Camagna³,
Delphine Vantelon⁴ & Nicolas Trcera⁴

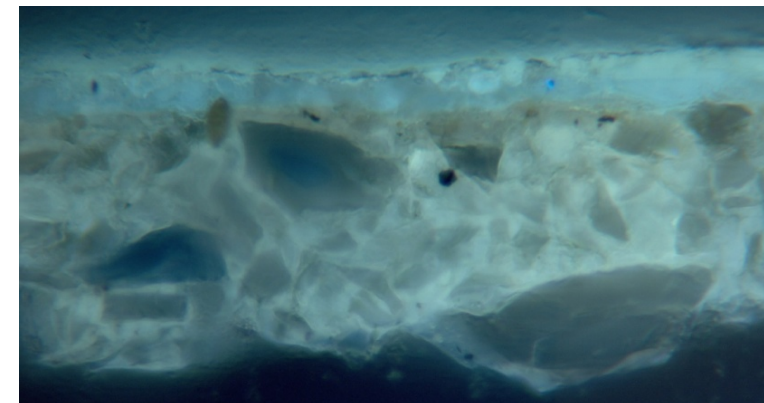
¹ IPANEMA, ² National Gallery – London, ³ CRRMF - Paris, ⁴ Synchrotron SOLEIL



Bartolomé Esteban Murillo, *The Heavenly and Earthly Trinities*, c. 1675–82, National Gallery London



Normal light

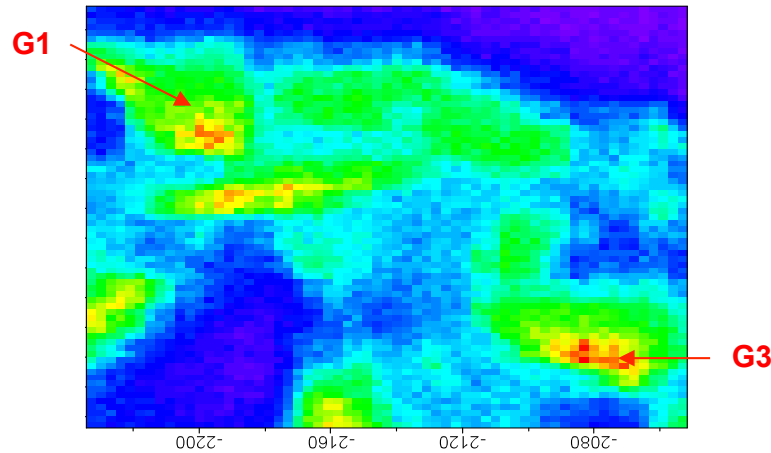
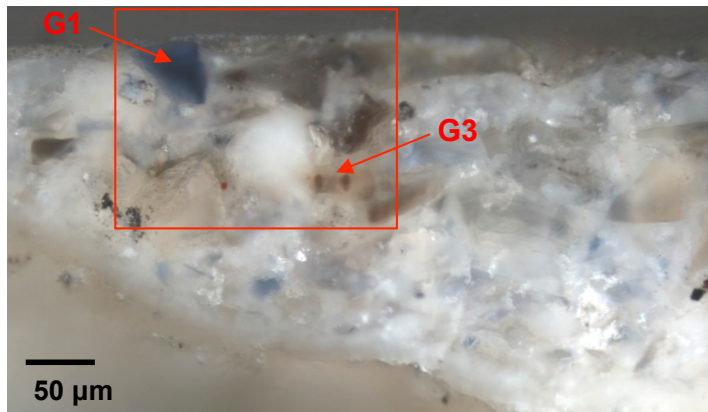


Ultraviolet light

40 µm

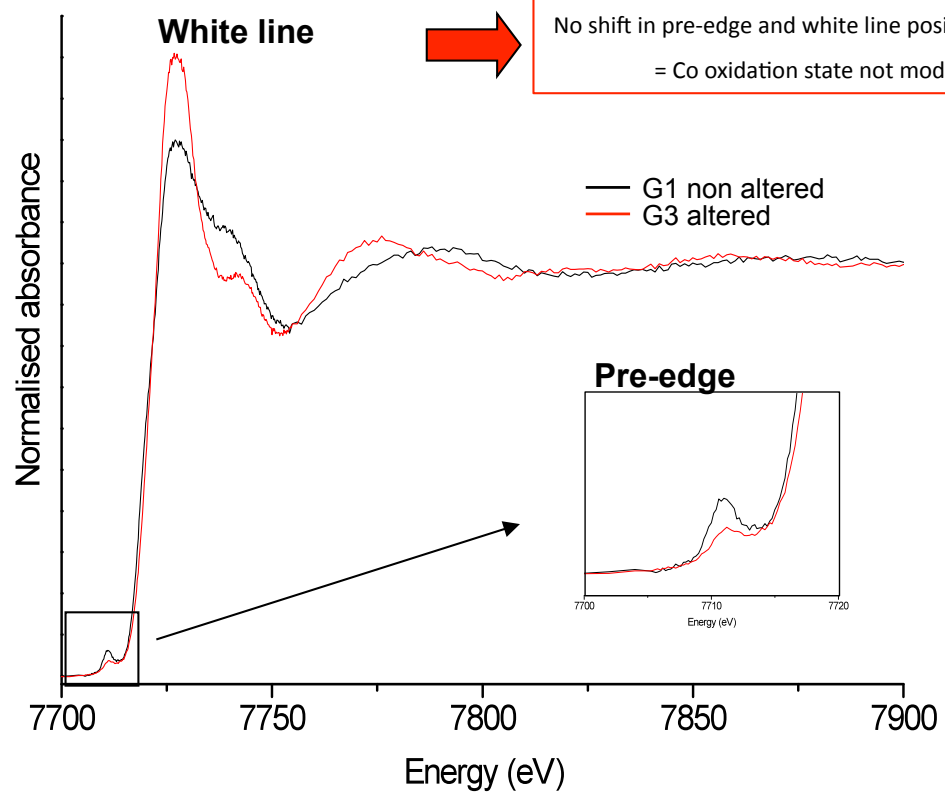
SEM-EDX analysis

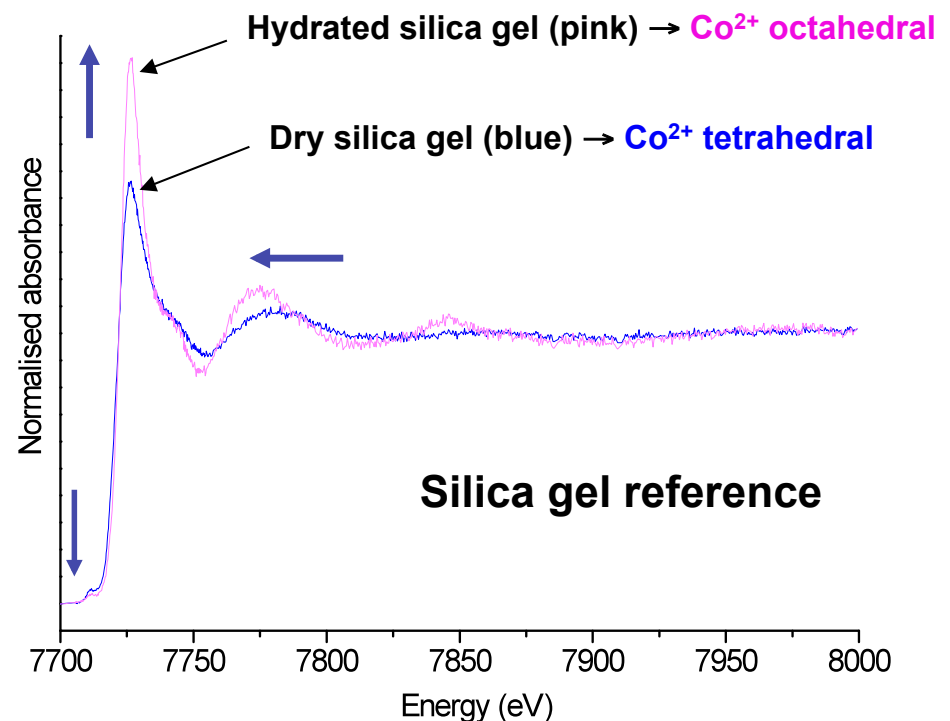
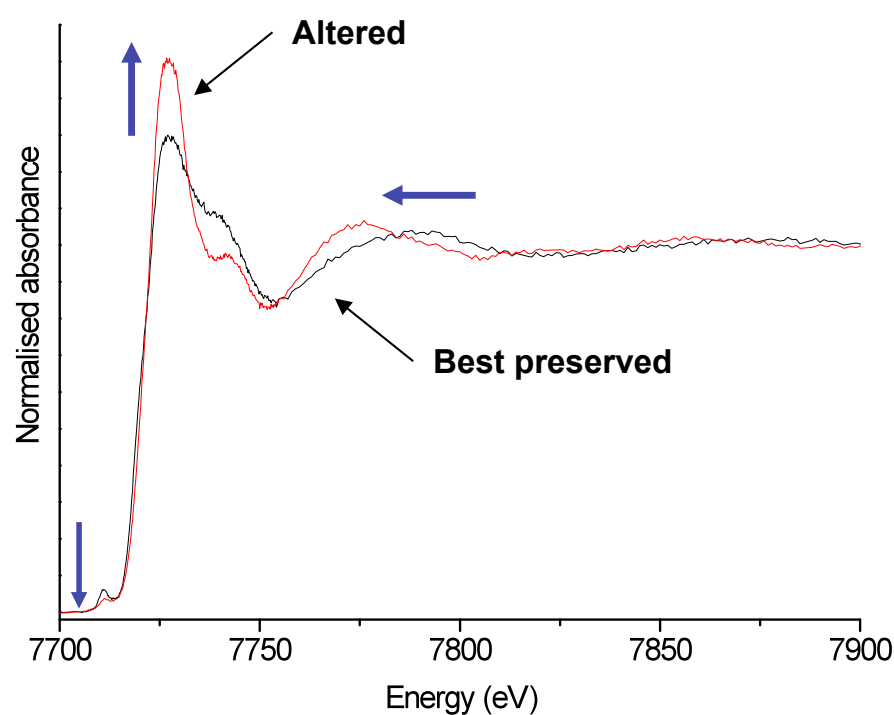
Weight %	SiO ₂	Al ₂ O ₃	Na ₂ O	K ₂ O	CaO	MgO	FeO	CoO	As ₂ O ₃	NiO	PbO
G1 well-preserved	64.4	1.8	1.2	16.0	7.0	0.8	2.0	2.1	4.2	0.1	0.4
G3 altered	76.2	0.7	0.4	1.8	6.0	0.5	2.2	4.1	7.0	0.9	0.2



Co K-edge micro X-ray absorption spectroscopy LUCIA beamline at SOLEIL

- Fluorescence mode
- Beam size of $4 \times 2 \mu\text{m}$





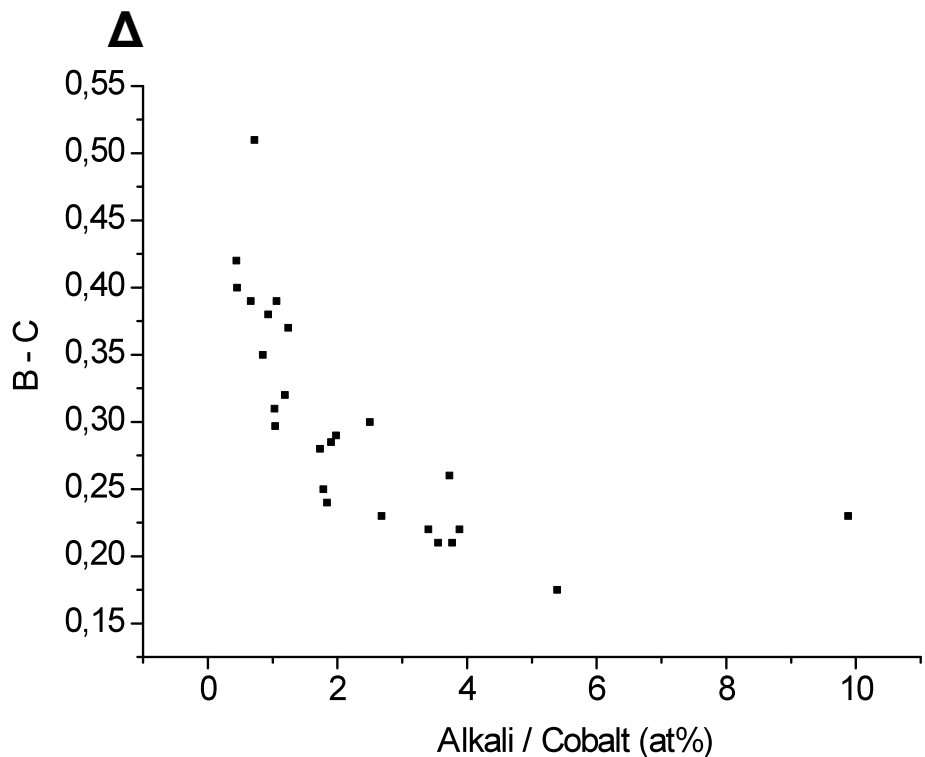
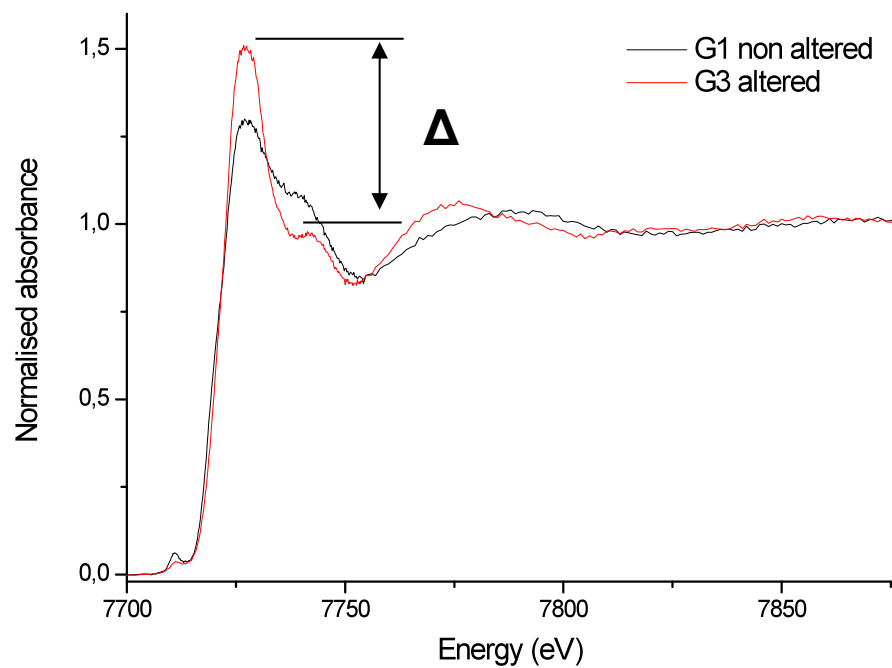
Co–O distance from EXAFS region

Sample	State	R (\AA)	N (dN)
Veronese L2925	Unaltered	1.95	4.4 (2)
	Altered 1	2.03	5.5 (2)
	Altered 2	2.06	6.0 (3)
Murillo NG13S8	Unaltered	1.95	4.7 (2)
	Altered 1	1.97	5.5 (2)



Colour change = modification of Co^{2+} environment from mostly tetrahedral towards octahedral coordination

Correlation Co²⁺ coordination – alkali leaching

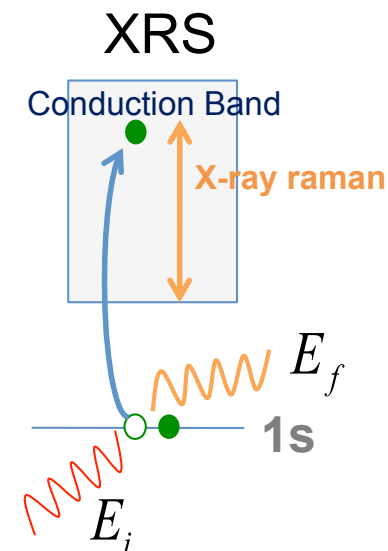
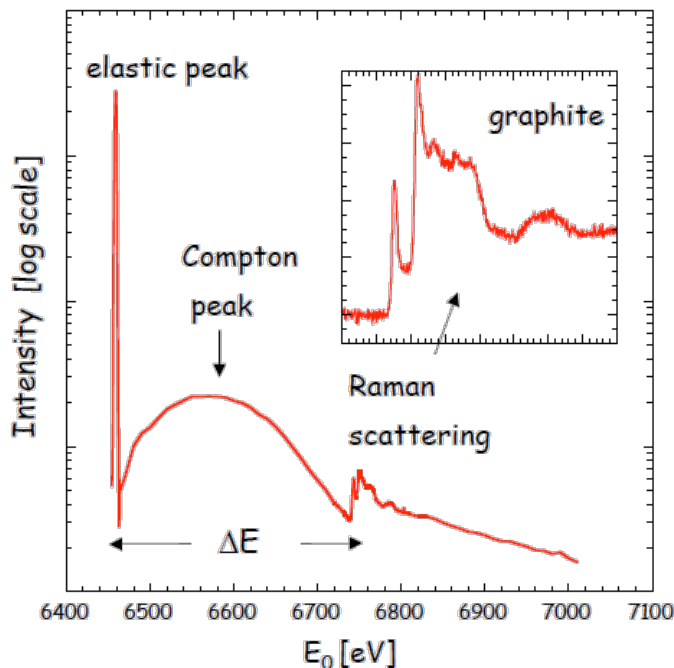


Alkali content affects Co²⁺ coordination
Leaching of alkali responsible of coordination change

G. Lelong¹, L. Cormier¹, G. Radkte¹, B. Baptiste¹, L. Hennet², G. Monaco³,
J.-P. Rueff⁴, J. Ablett⁴, G. Rousse⁵

¹ IMPMC - Paris, ² CEMHTI - Orléans, ³ ESRF - Grenoble, ⁴ Synchrotron SOLEIL, ⁵ Collège de France - Paris

Diffusion inélastique Raman des rayons X (X-ray Raman Scattering, XRS)



Processus Inélastique

Un photon incident avec une énergie E_i est diffusé avec une énergie plus faible: $E_f = E_i - \Delta E$

Avec le transfert d'énergie, un électron de cœur est excité vers un niveau inoccupé.

Exemples : les verres $\text{Li}_2\text{O}-\text{B}_2\text{O}_3$

Intérêts du système $\text{Li}_2\text{O}-\text{B}_2\text{O}_3$ (vitreux et cristallin)

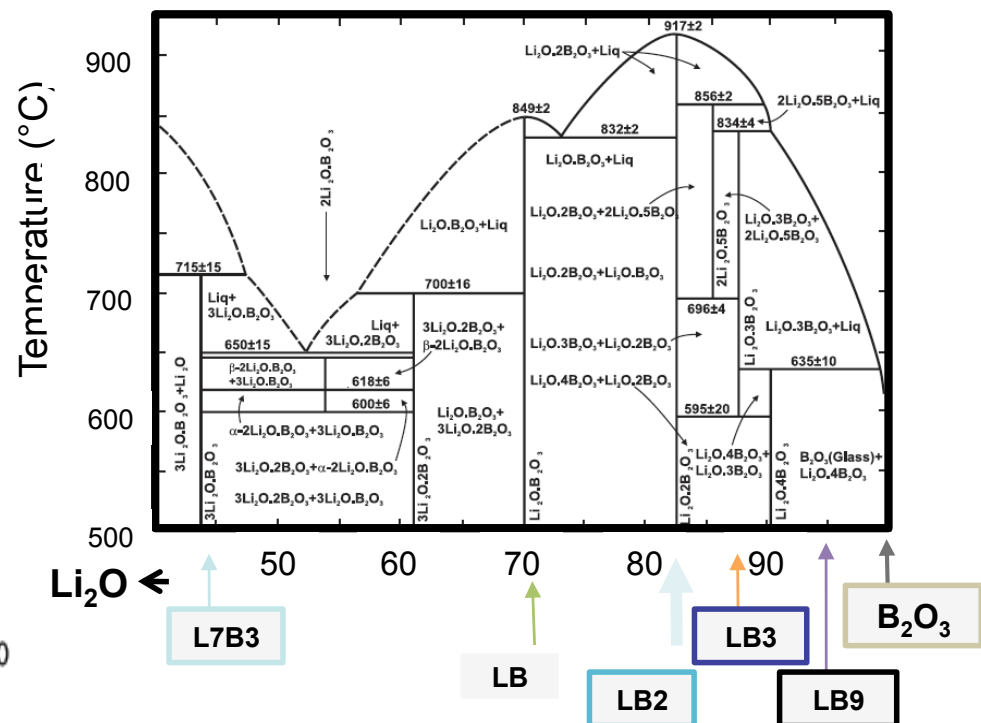
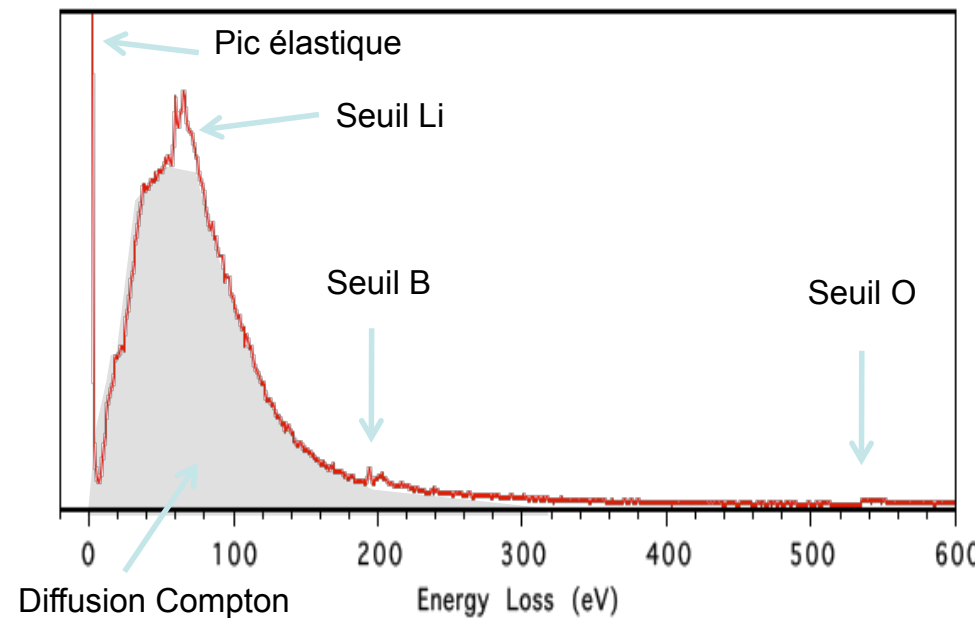
Technologiques :

- Matériaux pour l'optique non linéaire (LiB_3O_5)
- Bonne conductivité. Utilisation potentielle comme électrolytes solides (Li_3BO_3)
- LiMBO_3 (M=Fe, Co, Mn) : Utilisation potentielle comme cathodes

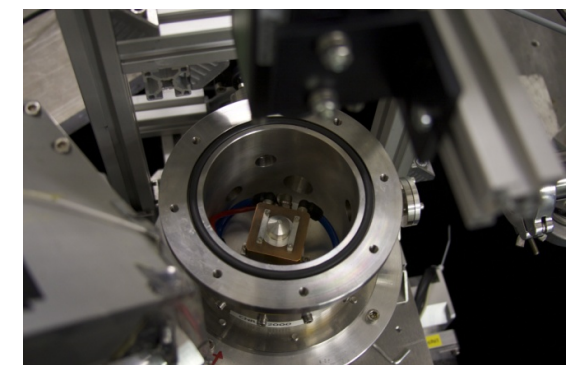
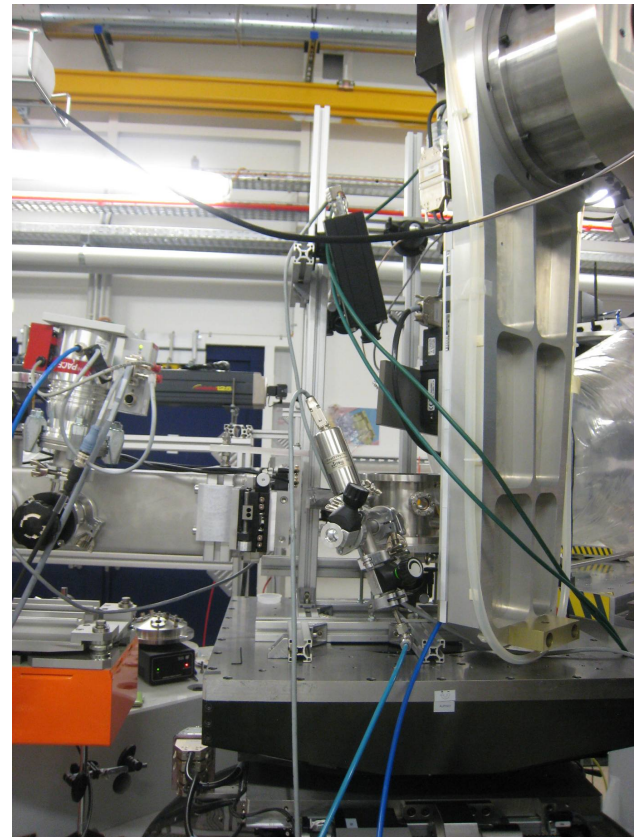
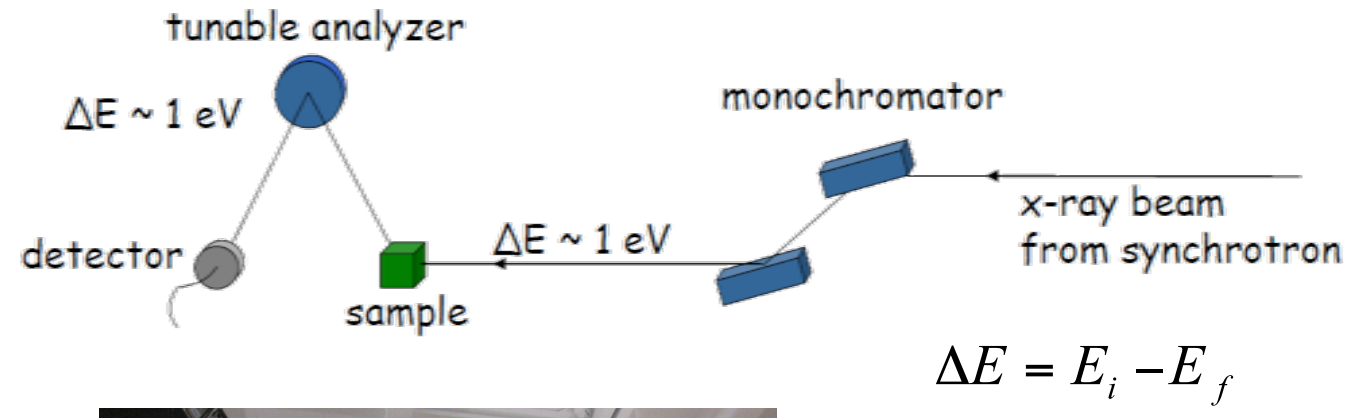
Scientifiques :

- B_2O_3 : Formateur de verre complètement constitué d'unités triangulaires BO_3
- Borates : Excellents matériaux pour étudier l'ordre à courtes et moyennes distances (anneaux Boroxol, superstructures)

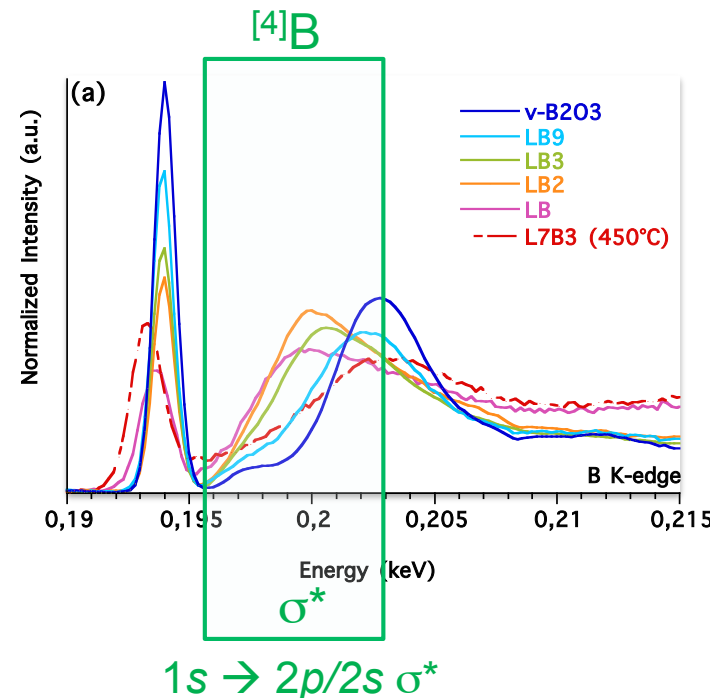
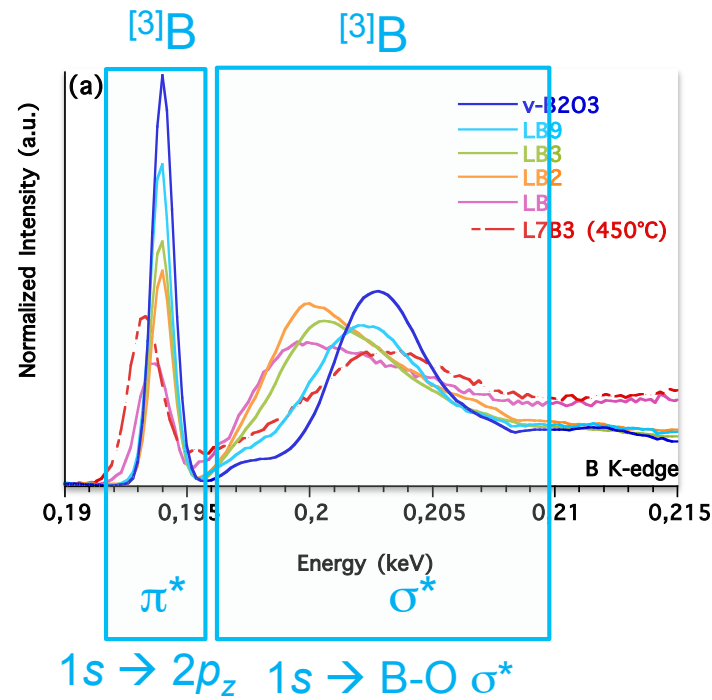
Spectre typique obtenu sur un borate de lithium



Dispositif expérimental pour des mesures à l'état liquide



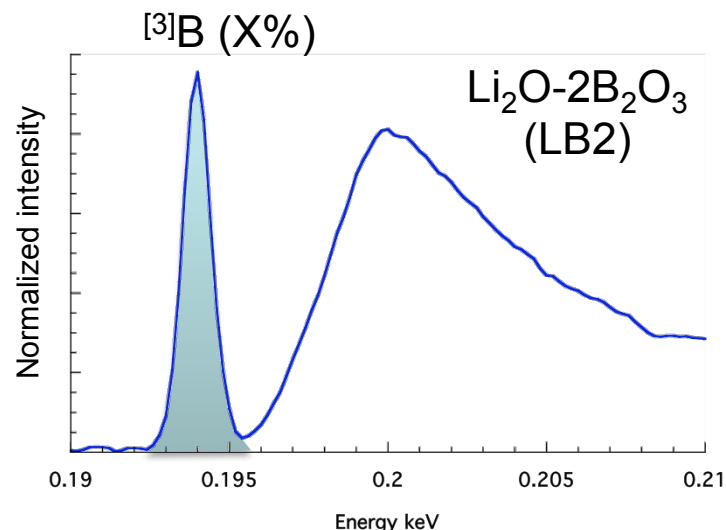
(T ambiante)



→ Modification du seuil due à un changement du rapport BO₃ / BO₄

Référence (100% $[{}^3\text{B}]$) :

B_2O_3 : Formateur de verre constitué d'unités triangulaires BO_3



$$\text{Proportion } [{}^3\text{B}] = \frac{\text{Aire}(LB_2)}{\text{Aire}(B_2O_3)}$$

Evolution avec la teneur en Li

- Cette étude
- ^{11}B NMR – Zhong *et al.* JNCS **111**, 67-76 (1989)
- ^{11}B NMR – Feller *et al.* JNCS **51**, 21-30 (1982)

